

岐阜大工学部 正 四野宮哲郎 滝上工業KK 正 高木録郎
 ○岐阜大大学院 博 前島正彦 大阪府大大学院 博 小田恵之輔

スライド式ラーメンは厳密には一種の折板として解析されねばならない。しかし、これは板の境界で次の適合条件に満たすことを満足する平板の結合体とみなすことができる。

$$U_{BR}^i = U_{B\bar{R}}^i \quad (1-a)$$

$$P_{BR}^i + P_{B\bar{R}}^i + F_{BR} = 0 \quad (1-b)$$

ここで、 U_{BR}^i , $U_{B\bar{R}}^i$ は一般座標系での板 i の境界長 L における変位、同じく P_{BR}^i , $P_{B\bar{R}}^i$ は内力 F_{BR} は境界長 L に作用する外力を表わす。

一般 K 板 i の変形は、他の板 j との境界の変位 U_{Bj}^i と板中央部の変位 u_o^i とで表わすことができる。つまり

$$U_o^i = f_{00}^i(P_o^i) + \sum_k f_{0Bk}^i(P_{Bk}^i) \quad (2-a)$$

$$U_{Bj}^i = f_{BBR}^i(P_{Bj}^i) + f_{B\bar{R}o}^i(P_o^i) + \sum_k f_{BBRk}^i(P_{Bk}^i) \quad \text{をキリ} \quad (2-b)$$

この第一式の左辺の第一項は板中央部の荷重 K による板中央部の変位、第二項は境界 K に作用する内力 K による中央部の変形、また第二式の左辺第一項は境界 R に作用する内力 K による境界 R の変形、第二項は中央部の荷重 K による境界 R の変形、第三項は他の境界 K に作用する内力 K による境界 R の変形を表わす。また、 f_{BBRk}^i の逆関数を g_{BBRk}^i とすれば、第二式より

$$P_{BR}^i = g_{BBR}^i(U_{BR}^i - f_{B\bar{R}o}^i(P_o^i) - \sum_k f_{BBRk}^i(P_{Bk}^i)) \quad \text{をキリ} \quad (3)$$

この式を(1-b)式に代入し、(1-a)式を用いれば、一般 K 積層板に作用する外力と変形との連立超幾何方程式群が得られる。これがスライド式ラーメンを、平板結合体として解析する際の基礎方程式となるものであり、骨組構造物に用いられるたるわみ角法を一般化したものである。

さて、かかる構造物であり、微小変形線形弹性理論に基づく限り、構造物中の任意点の変位の集合とその仕事点 K に作用する外力の集合との間に、変位 u 、外力 f 、剛体スティフネスマトリックス K とすれば、 $f = Ku$ の関係が成立する。これがマトリックス法の基礎であり、マトリックス法を用いれば、連立超幾何方程式は連立一次方程式に置換される。解析的解くにせよ、マトリックス法で解くにせよ、関数 ϕ あるいはスティフネスマトリックス K が未知であるので仮定しなければならない。したがって我々はこの解析に有限要素法を用い、その裏でウムントで模型実験を行なう。

有限要素法の適用の際、各板は矩形あるいは平行四辺形に限定し、それを平面内 K 直交座標 (X, Y) 斜交座標 (x, y) とし、矩形要素、平行四辺形要素 K に対するスティフネスマトリックスを作り、その後、一般座標系 K を変換を行なう。その際、面内変形と面外変形とは独立、つまり面内荷重による面内モードは面外モードとは独立し、また面外モードの回転角 θ_K に対するスティフネスマトリックスの項は 0 と I_R である。直交座標系の変位を $U_K = [U_X \ U_Y \ U_R]^T$ 、回転角を $\Theta_K = [\theta_X \ \theta_Y \ \psi_R]^T$ 、力を $F = [F_X \ F_Y \ F_Z]^T$ モードを $M = [M_X \ M_Y \ M_Z]^T$ 、斜交座標系の変位を U_0 、回転角を θ_0 、力を f 、モードを m とする。原点が同じである直交座標 X と斜交座標 x との関係は、

$$X = \begin{bmatrix} \cos(x, X) & \cos(y, X) & \cos(z, X) \\ \cos(x, Y) & \cos(y, Y) & \cos(z, Y) \\ \cos(x, Z) & \cos(y, Z) & \cos(z, Z) \end{bmatrix} X = \begin{bmatrix} l_x & l_y & l_z \\ m_x & m_y & m_z \\ n_x & n_y & n_z \end{bmatrix} X = L X \quad (4)$$

(4) 式の L を用ひれば、変位および力の関係は

$$F = L f \quad (5-a)$$

$$U_R = (L^{-1})^T U_0 \quad (5-b)$$

また

$$M = Q m \quad (6-a)$$

$$\Theta_R = (Q^{-1})^T \Theta_0 \quad (6-b)$$

さて

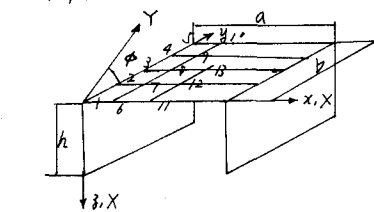
$$Q = \begin{bmatrix} m_y n_z - n_y m_z & m_y n_x - n_y m_x & m_x n_y - n_x m_y \\ n_y l_z - l_y n_z & n_z l_x - l_z n_x & n_x l_y - l_x n_y \\ l_y m_z - m_y l_z & l_z m_x - m_z l_x & l_x m_y - m_x l_y \end{bmatrix}$$

以上の関係式を用ひれば直角の斜交座標系で定められたステイフネスマトリックスが一般直交座標系へ変換される。すなわち斜交座標系の節点 i の節点 j に対するステイフネスマトリックス K_{Rji} は直交座標の K_{Rji} と次の関係を持つ。

$$K_{Rji} = \begin{bmatrix} L & 0 \\ 0 & (Q^{-1})^T \end{bmatrix} K_{Oji} \begin{bmatrix} L^T & 0 \\ 0 & Q^{-1} \end{bmatrix} \quad (7)$$

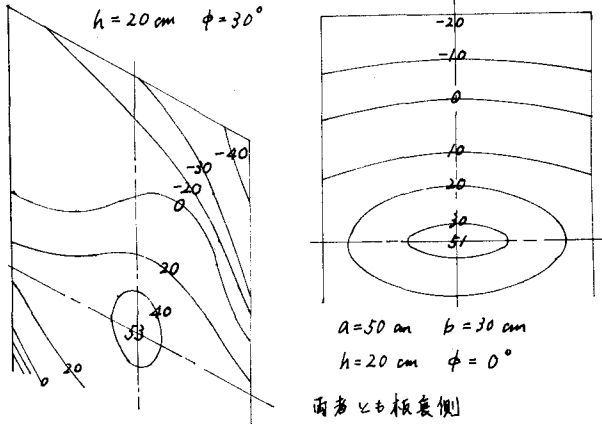
なお、この研究は昭和43年度科学的研究費（一般研究）の補助を受けたものである。

計算結果および実験結果



中央点載荷(単位面積)		$a=1$	$b=1$	$h=0.5$	$\phi=30^\circ$
No.		$M_{x1}/D\cos^3\phi$	$M_{y1}/D\cos^3\phi$	$M_{z1}/D\cos^3\phi$	
1	-0.05	-0.04	-0.01		
2	-0.12	-0.01	0.04		
3	-0.45	-0.41	-0.32		
4	-1.12	-0.02	-0.22		
5	-1.10	0.03	-0.06		
6	0.07	0.17	0.12		
7	0.36	0.69	0.41		
8	0.65	2.17	1.04		
9	1.34	2.59	1.23		
10	0.69	1.16	0.71		
11	0.20	0.07	0.09		
12	0.82	-0.06	0.25		
13	1.50	0.61	0.38		

中央点載荷(1kg)による $\Sigma x (\times 10^6)$ の分布図
 $a=57.7 \text{ cm}$ $b=30 \text{ cm}$
 $h=20 \text{ cm}$ $\phi=30^\circ$



面積 Σz も板裏側

参考文献 山崎徳也・彦根聰：板たわみ角法による立体斜材構造の解析

田野宏喜郎；スラブ式斜材ラーメン構解法の一試案

Green, Zerhaji: Theoretical Elasticity